

大阪工大 正員 木原 敏

はじめに： 細過時の砂層は逆洗水効果によつて、砂粒径が上層より下層へほぼ均一成層化されていることにちがつて、実際にはチャネリング等の砂層の混合作用が働いて、完全には成層化されない。したがつて、各層はある一定の粒度分布をもつて形成されることにするが、このように成層化と混合とをもつて砂層によつて、細過層は形成される。砂細過層での細過による浮遊物質の抑止現象を論議する上では、この砂層中の間隙の状況を把握、その間隙中の流れを知らなければならぬ。

1. 均一な砂粒径による3層の相当有効間隙径

ϕ_i の直徑の砂粒によつて構成されていき砂層の間隙を(1)式のように定義し、相当有効間隙径 d_{*i} とする。

$$d_{*i} = \{V_a \cdot \lambda_{io} / n_i\}^{1/3} = \left\{ \frac{\pi}{6} \cdot k \lambda_{io} / (1 - \lambda_{io}) \right\}^{1/3} \cdot \phi_i \quad \dots \dots \dots (1) \quad n_i = (1 - \lambda_{io}) V_a / \frac{\pi}{6} k \phi_i^3 \quad \dots \dots \dots (1)$$

V_a : 微少単位体積 [cm³]、 λ_{io} : ϕ_i の直徑の3砂層間隙率、 n_i : ϕ_i 直徑3砂層中の単位体積 V_a 中の砂粒子数、 k : 体積形状係数（理論的には面積形状係数 k' と等しい。）

Fair の定義によると、間隙径 d_f は、間隙中の有効動脈深として、 $d_f = V_a \cdot \lambda_{io} / \Sigma a_s$ $\dots \dots \dots (2)$

a_s : 砂単体の表面積 [cm²] Σa_s : 微少単位体積中の砂の表面積の総和 [cm²] $\Sigma a_s = N_i a_s$ $\dots \dots \dots (2)$

$$d_f = (k/k') \cdot \{ \lambda_{io} / 6 (1 - \lambda_{io}) \}^{1/3} \quad (1) \text{ と } (2) \text{ と定義が若干異なる。}$$

2. 完全成層化された砂層間隙の垂直分布

3砂粒径分布が対数正規分布を示すものとし、3砂粒径分布平均粒径 ϕ_m 、標準偏差 σ_0 とすれば、中間に応する砂層厚さ dz は

$$dz = \frac{(1 - \lambda_{oi}) \rho_{so}}{(1 - \lambda_{oi}) \rho_{si}} Z_o \cdot \frac{1}{\sqrt{2\pi \sigma_0^2}} \exp \left[-\frac{(\log \phi_i / \phi_m)^2}{2 \sigma_0^2} \right] \cdot d\phi \quad \dots \dots \dots (3) \quad \rho_{so}: \text{砂全体の平均密度 [g/cm}^3\text{]} \\ \rho_{si}: \phi_i の密度 [g/cm}^3\text{]} *$$

* ρ_s は粒径の大小により、異なる。一般に ϕ が小さくなるにつれて ρ_s が増加する傾向がある。しかし、その差はわずかであるので、 $(1 - \lambda_{oi}) \rho_{so} / (1 - \lambda_{oi}) \rho_{si} \approx 1$ とすると、

$$Z = Z_o \frac{1}{\sqrt{2\pi \sigma_0^2}} \int_{\phi_i}^{\phi_m} \exp \left[-\frac{(\log \phi / \phi_m)^2}{2 \sigma_0^2} \right] d\phi. \quad \dots \dots \dots (4)$$

(4)に対応する ϕ_i の d_{*i} より、 Z と d_{*i} の関係を求め得る。この関係は数値積分演算を伴うが、Hazen 等による式を用いて、演算と組合せることで比較的簡単に求め得る。

3. 粒径分布を有する混合状の相当有効間隙径

いわゆる実際の3層の砂粒径の分布は、成層化と混合との中間である。どちらの影響がより強く現れていくかについては、現在のところ、一律的にはいえないが、混合の影響の方が大きいのではないかと思う。しかし、明らかに実測値よりも、成層化の傾向がてており、それらのウェイトの大きさは、3過濾のわずかな洗浄の条件で異なるので、現在のところ、定格化することは難かしい。実測値から $\phi_m = (Z/d)^{1/n}$ $\dots \dots \dots (5)$ α, n 常数 $\phi_0 = a \phi + b$ $\dots \dots \dots (6)$ 、 a, b 常数 とみなし得る。

粒径の異なる粒子によつてつくられる3間隙は、均一な場合と異なり間隙率、間隙径共に小さくなる。砂層の混合された状況での粒径分布は、逆洗水効果による成層化の影響にも拘らず、実測値からは対数正規分布とみなしうる分布のようである。

砂層の間隙率は粒度や、その分布の状況によって異なるが、これを定量化することは、砂の形状によつても影響を受けるので難かしい。むろん経験的に把えなきがよい。通常の砂層の範囲では間隙率は粒径によつてほとんど差異を生じないが、ガラス球のように球形のものに較べて角張つてある砂の方が差異は大きくなる。一般に

$$\log(\lambda_0 - c) = a\phi + b, \quad \dots \dots \dots (1) \quad a, b, c \text{ 常数}$$

砂層中のある深さの $d\phi$ 中に含まれる砂のうち、 V_a の全粒子の重量合計 $W_{a,i}$ は

$$W_{a,i} = W_{a,0} \cdot p_i d\phi = V_a (1 - \lambda_0) \rho_s \cdot p_i d\phi \quad \dots \dots \dots (2)$$

$$\rho_s \text{ 粒子の } V_a \text{ 中の粒子数 } N_a : n \quad N_a = W_a / w_a = V_a (1 - \lambda_0) \rho_s \cdot p_i d\phi / k (\pi/6) \rho_s \phi^3 \quad \dots \dots \dots (3)$$

$$w_a : 1 \text{ 個粒子の重量} = \rho_s V_a = \rho_s (\frac{\pi}{6}) k \phi^3 \quad \dots \dots \dots (4) \quad V_a \text{ 内の全表面積 } A_a$$

$$A_a = \int_{\phi_1}^{\phi_2} 6 V_a (1 - \lambda_0) \frac{k'}{k} \phi_i p_i d\phi = 6 \frac{k'}{k} V_a (1 - \lambda_0) \int_{\phi_1}^{\phi_2} p_i \phi_i d\phi \quad \dots \dots \dots (5)$$

混合状態の相当有効間隙径 d_m は Fair 的表現をすれば

$$d_m = V_a \cdot \lambda_0 / A_a = \frac{1}{6} \frac{k}{k'} \frac{\lambda_0}{(1 - \lambda_0)} / \sqrt{2\pi \sigma_0^2} \int_{\phi_1}^{\phi_2} \phi_i \exp\left[-\frac{(\log(\phi_i/\phi_m))^2}{2\sigma_0^2}\right] d\phi \quad \dots \dots \dots (6)$$

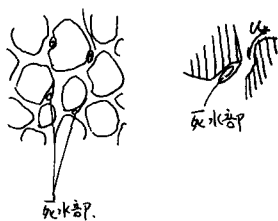
$\lambda_0, \phi_m, \sigma_0$ は、(5) (6) (7) で表わされたような経験値である。同一の過渡地内でも深さとの相関性は平面上の位置が異なれば異つてくる。(3) 層の逆流は実際には極めて不均一である。)

4. 間隙内の速度

3 層中の抑止物質の捕捉現象などのようにみるかについては、物理、化学的な各種のパターンがモデル化されてゐる。3 層界面の電気力学的吸着力であるとする説もあるが、筆者は最も影響の大きい因子としてはむろん砂表面の掃流力と壁面現象にあると考えている。

間隙は過渡開始前の清浄 3 層の場合で、0.3~0.5 mm の毛細管の組合せであるが、この間隙径は有効間隙径 d_m 、 d_m で規定されることはない。この有効間隙径は毛管の平均的代表徑であり、徑の大きさは不規則に接続している。したがつて、単純に直管モデルを流下する流れとしてみるのではなく、不規則管内の摩擦剪断現象とみなすべきであらう。また間隙内には砂のもつ不規則な凹凸があり、これの組合せによつてできた小室があつて、この周辺を接近して流れる際に生じる剥離により、小室に閉じ込められる捕捉がある。これらをミクロ的に表現することは困難であるが、対数正規分布的容量の小室群としてのモデルを考えてみる。

間隙径の d_m における V_a の分布を f_m 、 G_m (G_m は V_a の d_m の標準偏差) とすると、



間隙内の摩擦剪断速度 U_m は

$$U_m = (g d_m / \mu) (dh/dl)^{1/2} \quad \dots \dots \dots (7)$$

$$= \frac{1}{2\pi \sigma_m^2} \cdot \frac{1}{\sqrt{2\pi}} \cdot \exp\left[-\frac{(\log(d_m/d_m))^2}{2\sigma_m^2}\right] \quad \dots \dots \dots (7')$$

間隙内の小室、小麦面を掃流剪断によって移動する限界速度を U_{rc} とし、この値の周辺より小さな部分で抑止が起つ。それ以上の速度では掃流され、下流へ運搬される。

剥離によつて生じる小室の死水部もまた統計的に取扱ふべきである。死水部の占める間隙への割合が大きければ、抑止効果は大きくなるであろう。間隙に生じる死水部の大きさは間隙の通過流速によつて生じるであろうが、大きさではない。死水部の大小はむろん砂の異形性に支配されるであろう。

以上の抑止現象は、間隙が、抑止物質によつて閉塞を繰り返す状況でのモデルである。閉塞によつて間隙が変化してゆく中で、3 層中の抑止物質の剥離流が生じ、層の深部への移動が起つ。これらの現象については今後の課題となる。閉塞による水圧の非定常変化は、ミクロ的には、掃流の断続運動であり、連続的な取扱いには無理があるようだ。

本研究は工大中研の助成金によつてこなされた記す。